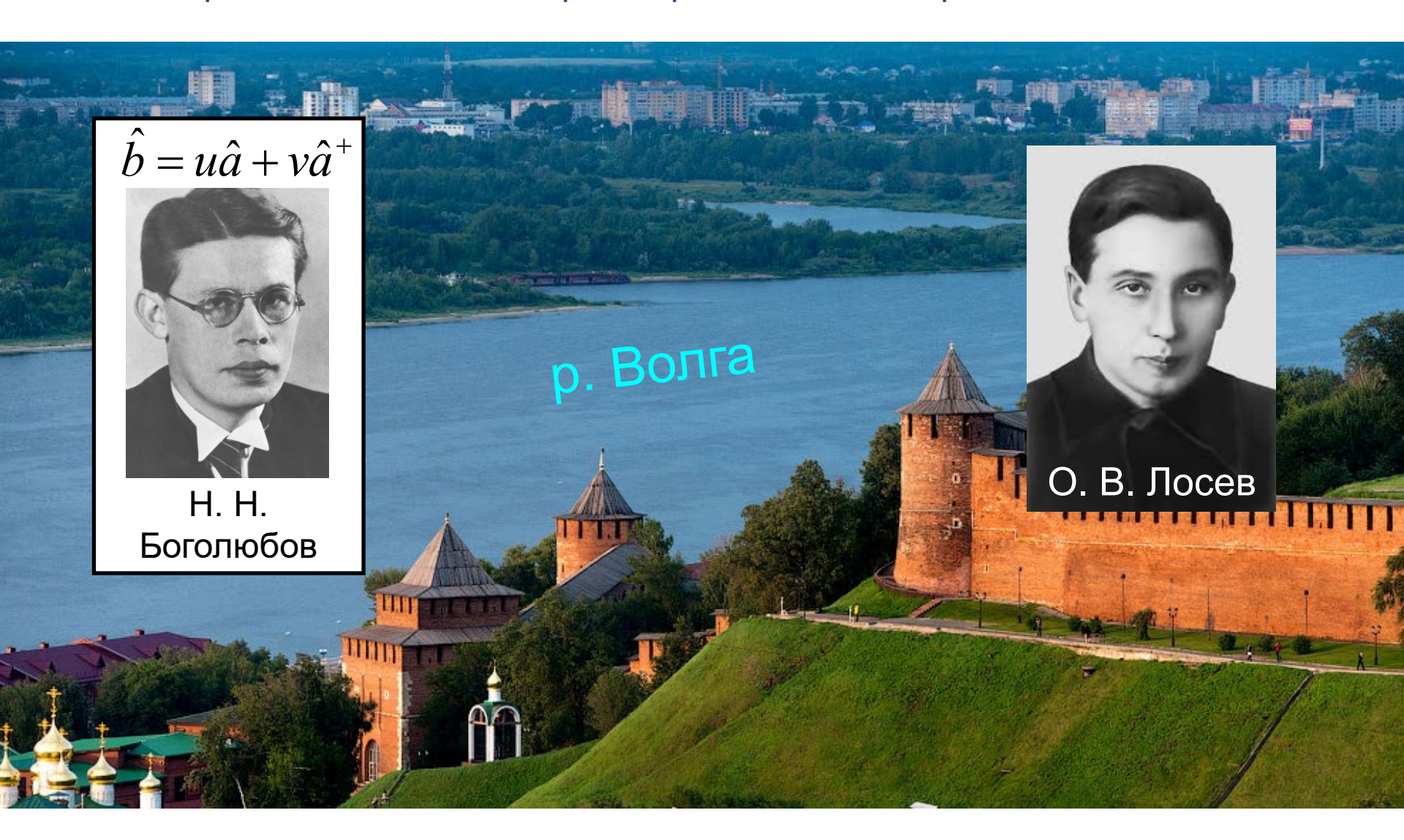
Сверхтекучесть в газе ферми-атомов

Андрей Турлапов

Институт прикладной физики имени А.В. Гапонова-Грехова, г. Нижний Новгород ВНИИ физико-технических и радиофизических измерений, пгт Менделеево



Сверхтекучесть в газе ферми-атомов

Андрей Турлапов

Институт прикладной физики имени А.В. Гапонова-Грехова, г. Нижний Новгород ВНИИ физико-технических и радиофизических измерений, пгт Менделеево



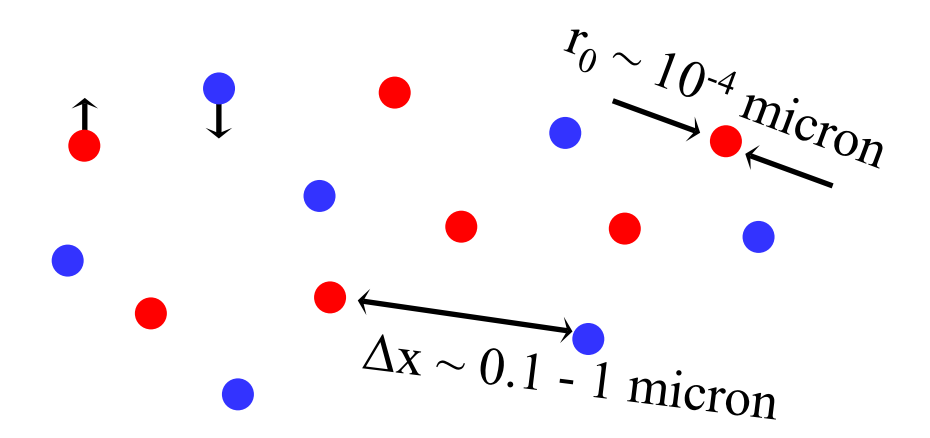
Сверхтекучесть в газе ферми-атомов

Андрей Турлапов

Институт прикладной физики имени А.В. Гапонова-Грехова, г. Нижний Новгород ВНИИ физико-технических и радиофизических измерений, пгт Менделеево



Газ атомов-фермионов ⁶Li

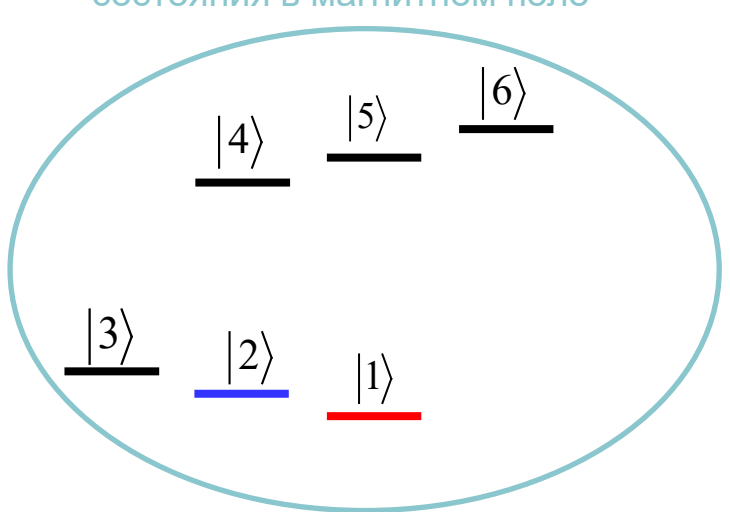


электронная оболочка: $1s^22s^1$, спин S=1/2 ядерный спин: I=1

$$\uparrow \equiv \left| 1 \right\rangle \approx \left| S_z = -\frac{1}{2}, I_z = 1 \right\rangle$$

$$\downarrow \equiv \left| 2 \right\rangle \approx \left| S_z = -\frac{1}{2}, I_z = 0 \right\rangle$$

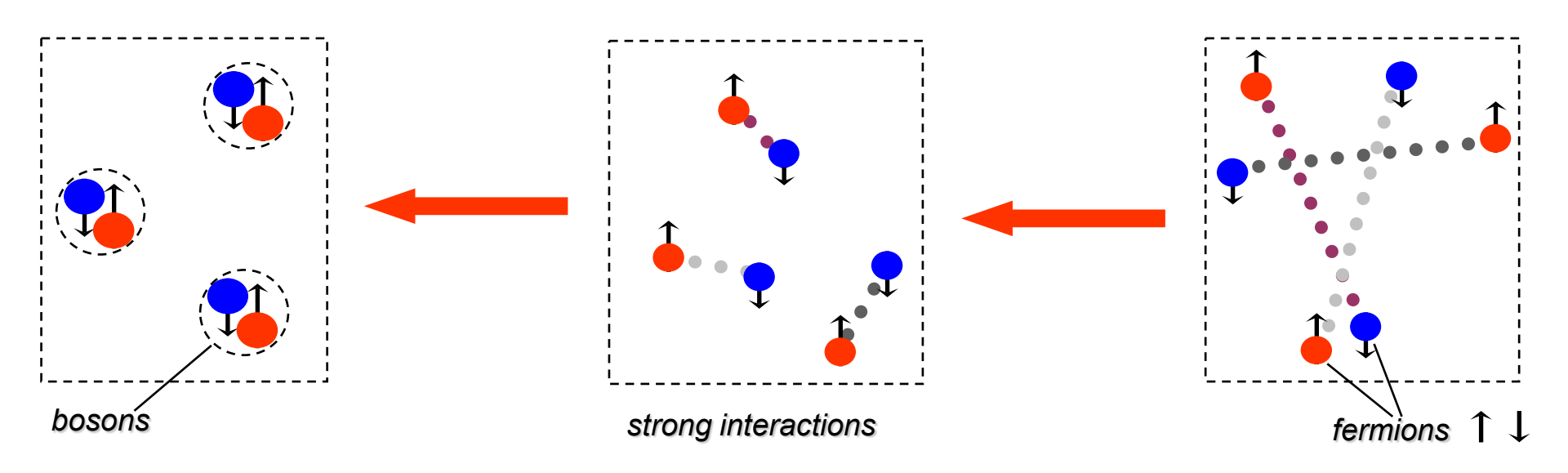
расщепление основного состояния в магнитном поле



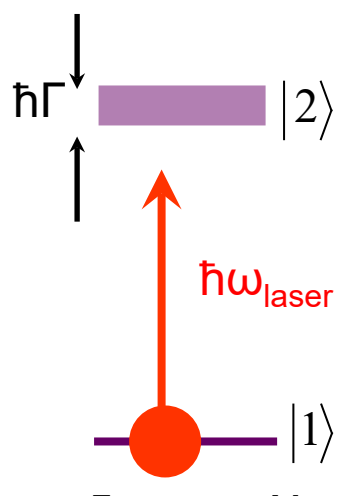
BCS-BEC crossover:

from Bardeen-Cooper-Schrieffer fermionic superfluid to Bose-Einstein condensate of diatomic molecules

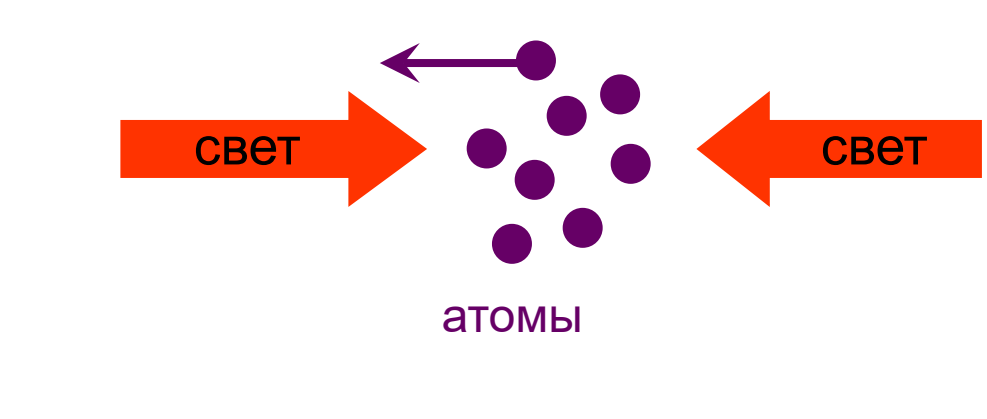
Переход между асимптотами ферми-газа и бозе-конденсата составных бозонов – исходно предсказано для экситонов [Keldysh & Kozlov, 1968]

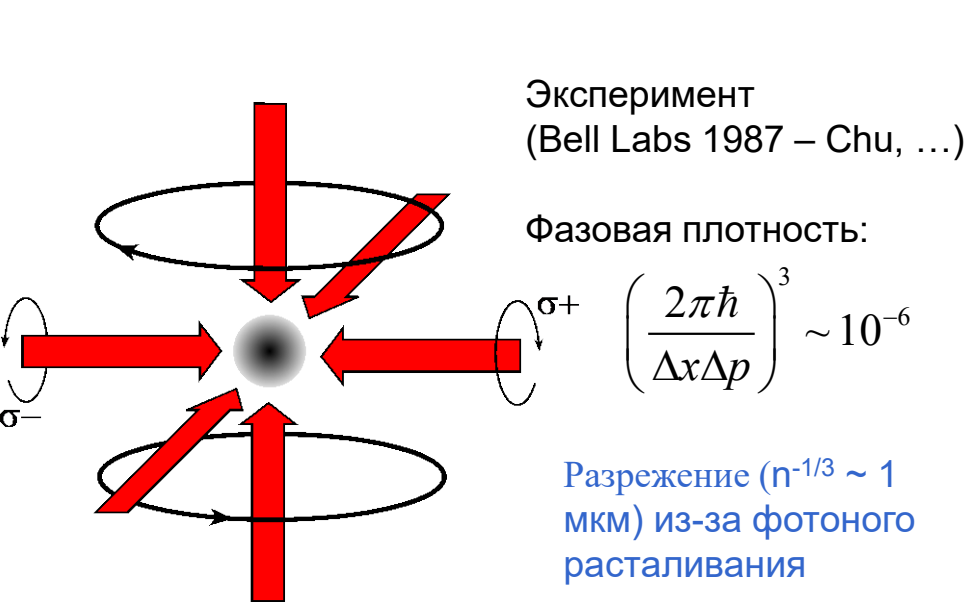


Как охладить газ атомов ? 1-й шаг из 2: $T = 10 \mu K - 1 mK >> E_F$



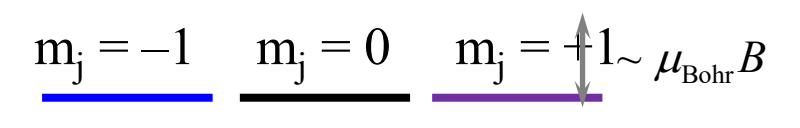
теория Летохова—Миногина—Павлика (ИСАН, 1977) $T_{min} = \hbar\Gamma/2 = 100-200$ мкК для щелочных металлов эксперимент — ИСАН (1981)

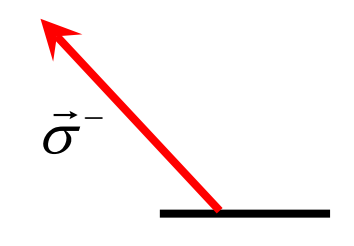


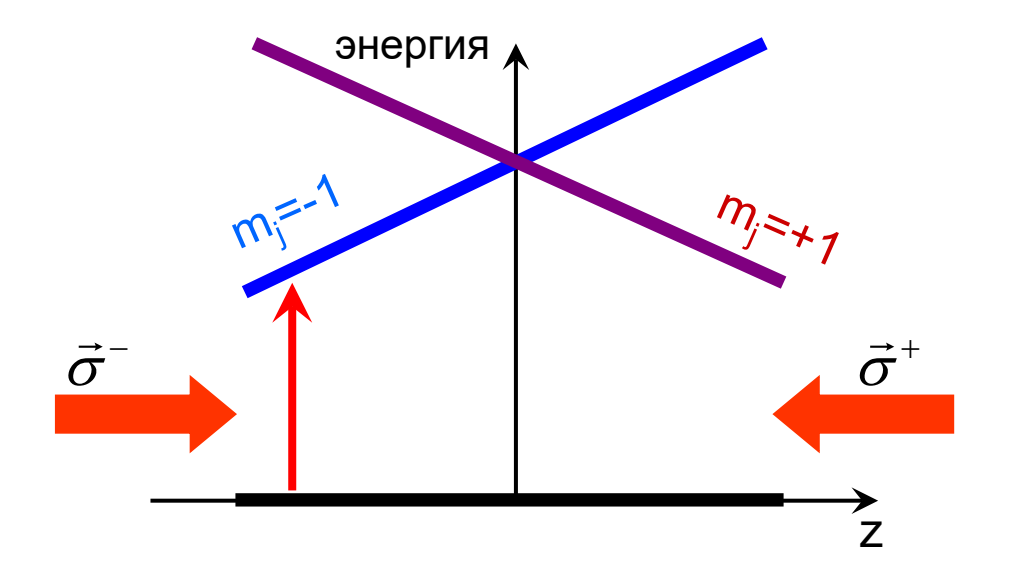


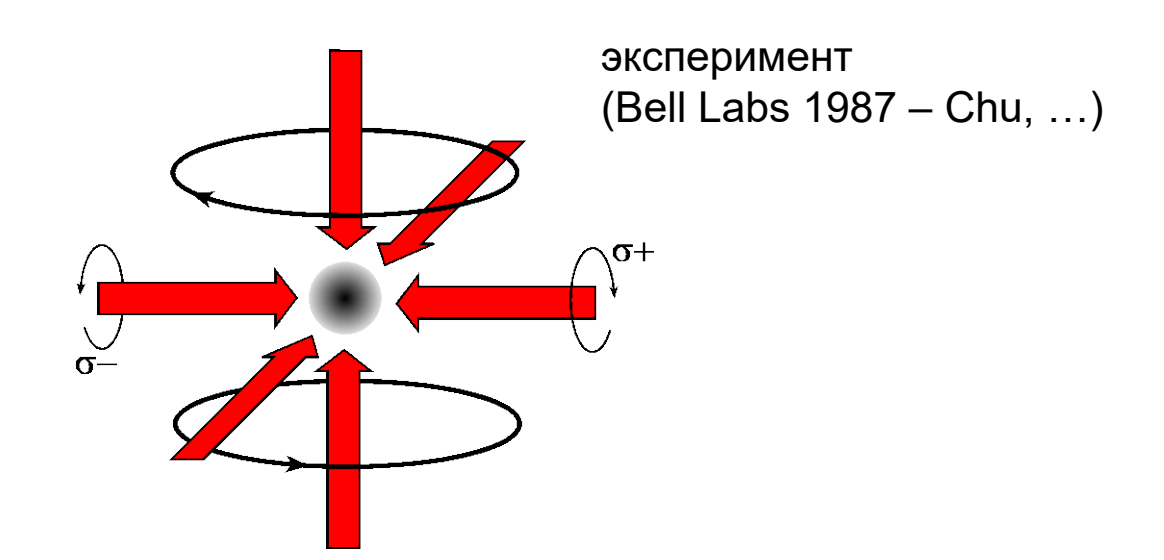


Локализация – магнито-оптическая ловушка









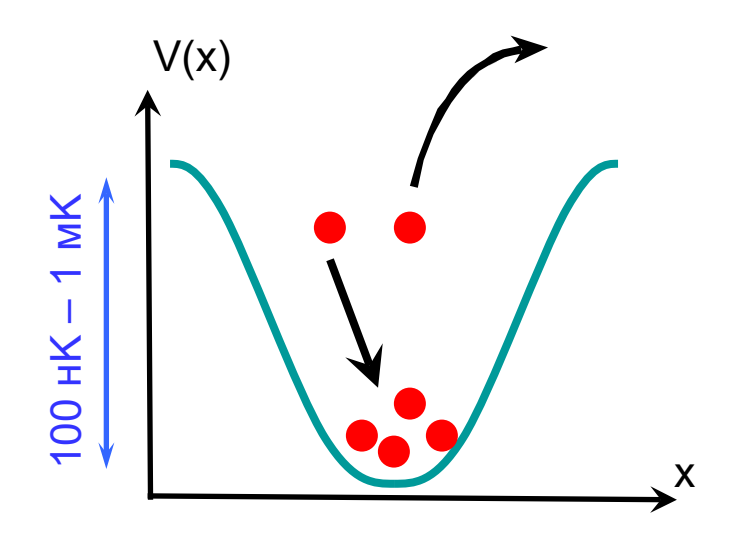
Как охладить газ атомов ? 2-ой шаг из 2: $T = 1 \text{ HK} - 1 \text{ мкK} < E_F$

Охлаждение выпариванием в консервативном потенциале – оптическая дипольная ловушка

 λ =10,6 мкм >> λ_{atom} =670 нм релеевское рассеяние ~1 фотон/час



$$V = -\vec{d} \cdot \vec{E} = -\frac{\alpha}{2} \vec{E}^2$$

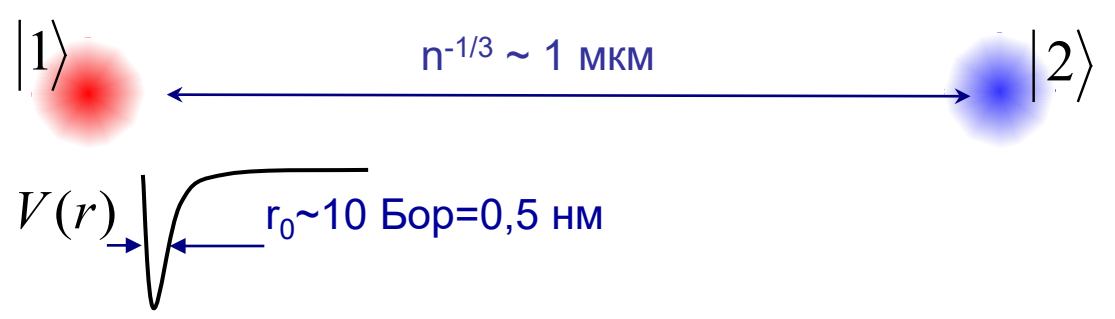


В начале: 10^6 атомов при 300 мкK, фазовая плотность = 10^{-6}

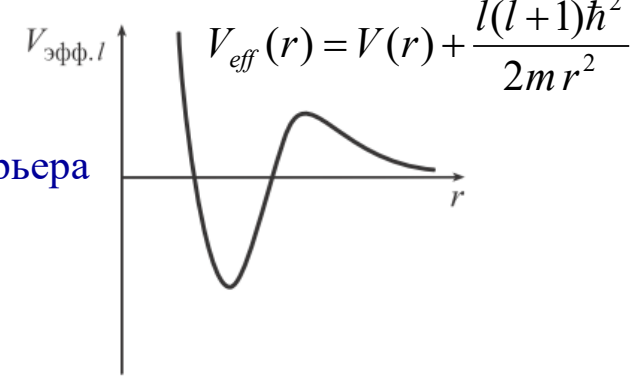
В конце: 10⁵ атомов ~10 нK, фазовая плотность = 1

 $n^{-1/3} \sim 0.2 - 1$ мкм. Почему атомы сталкиваются?

Межатомные взаимодействия



Только s-столкновения (l=0) из-за центробежного барьера



$$\psi(\vec{r}) = \psi_{\text{free}}(\vec{r}) + \frac{f(\vec{k}, \vec{k}')}{(2\pi)^{3/2}} \frac{e^{ikr}}{r}$$

$$f(\vec{k}, \vec{k}') \approx \frac{1}{-ik-1/a}, \quad \sigma = 4\pi |f|^2$$

$$\hbar k \rightarrow 0$$
: $\sigma = 4\pi a^2$

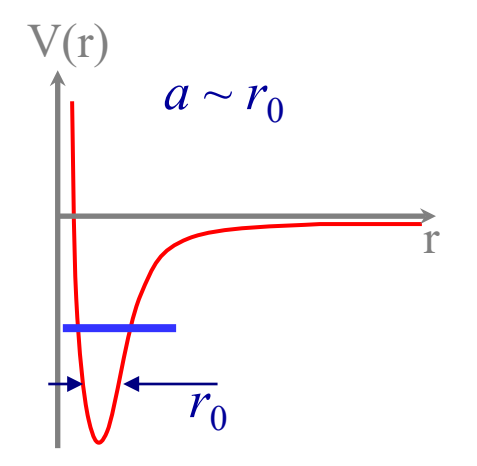
$$a \to \infty$$
: $\sigma = \frac{4\pi}{k^2}$

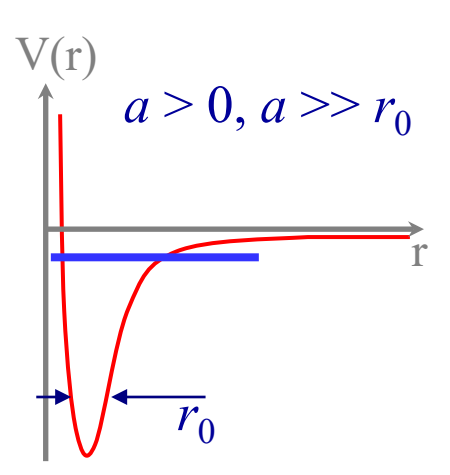
При $r_0 << a$ длина s-рассеяния a — единственный параметр взаимодействия.

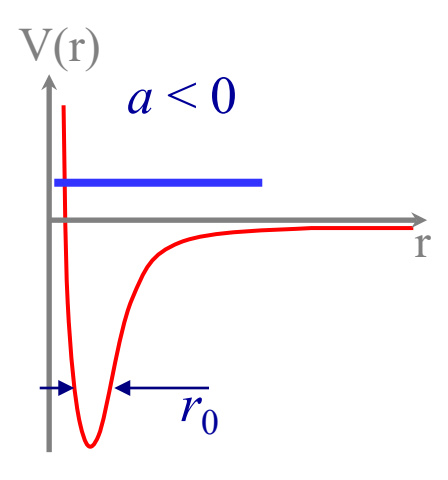
Подобие: для нейтронов a = -18 фм, $r_0 = 2$ фм

Резонансные столкновения 2 атомов

 $\sigma = 4\pi a^2$ - сечение рассеяния, a - длина s-рассеяния

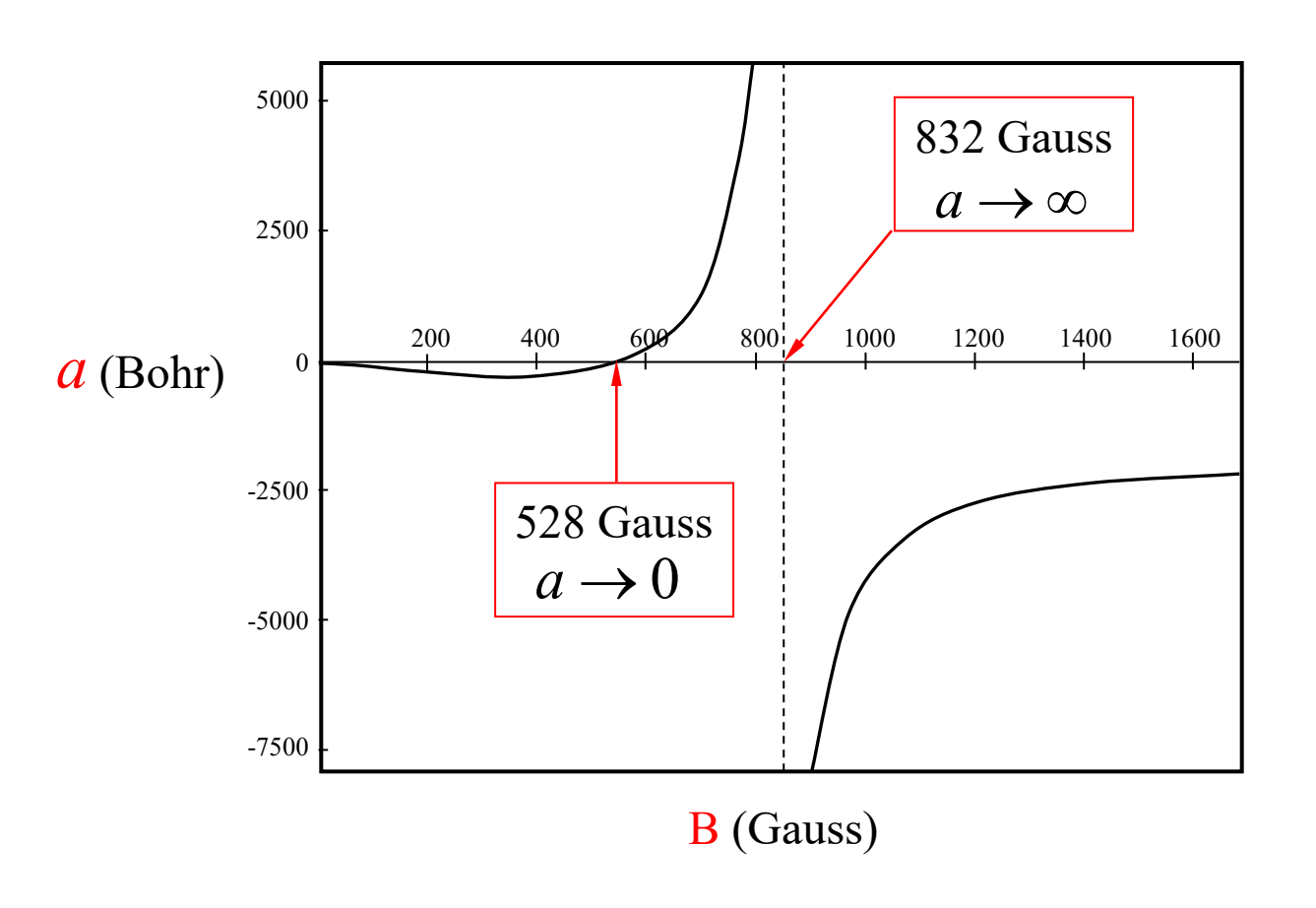






Нужны атомы с большим α ИЛИ резонансы Фано-Фешбаха

Fano-Feshbach resonance for lithium-6: scattering length *a* vs magnetic field *B*

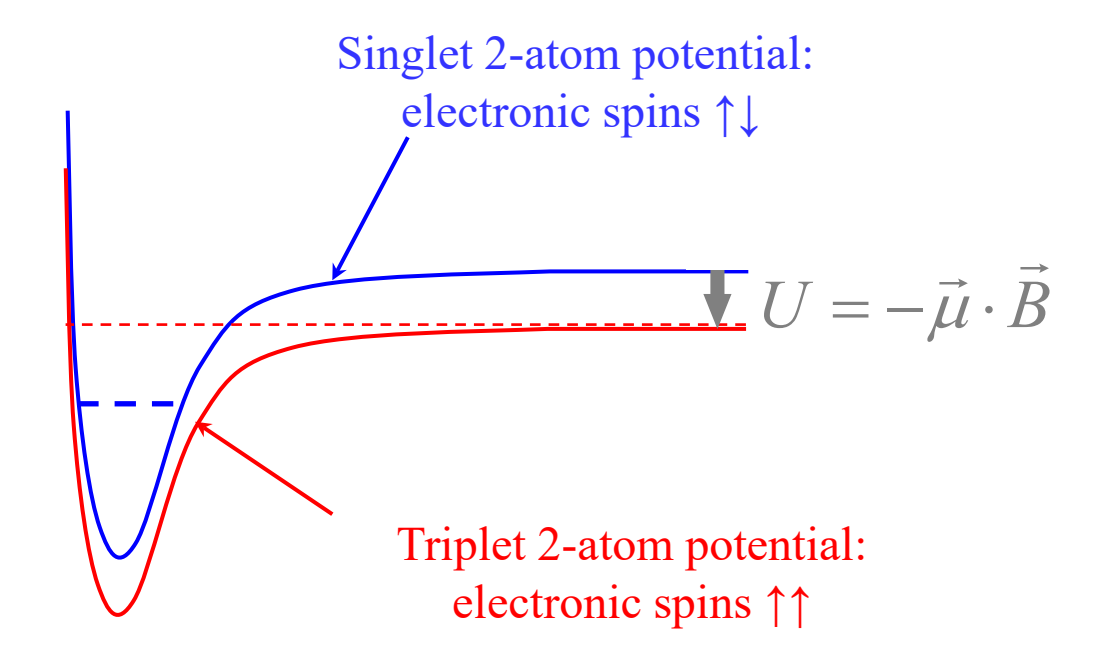


Tuning scattering length a by means of Fano-Feshbach resonance

$$\begin{vmatrix} 1 \rangle = \left| S_z = -\frac{1}{2}, I_z = 1 \right\rangle + \alpha \left| S_z = +\frac{1}{2}, I_z = 0 \right\rangle, \quad \alpha <<1$$

$$\begin{vmatrix} 2 \rangle = \left| S_z = -\frac{1}{2}, I_z = 0 \right\rangle + \beta \left| S_z = +\frac{1}{2}, I_z = -1 \right\rangle, \quad \beta <<1$$

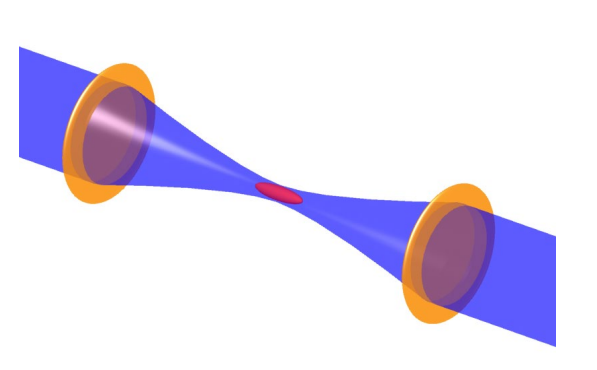
$$\begin{vmatrix} valence \\ electrons \end{vmatrix} = (...) \left| triplet \ state \right\rangle + (...) \left| singlet \ state \right\rangle$$



Стабильность ферми-газа при $a \to \pm \infty$

2003: J. E. Thomas and colleagues (Duke)



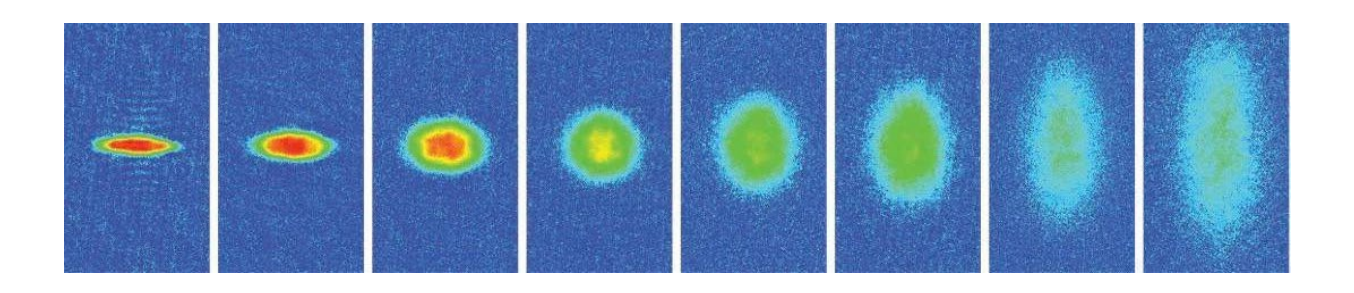


a=∞ ?!!

Bertch's problem: Stability and ground state of a gas of N spin-1/2 fermions with $r_0 \rightarrow 0$ and $a=\infty$

Answer 1: If r_0 →0 before N→ ∞, then system is stable

Answer 2: If $N \rightarrow \infty$ first and $r_0 \rightarrow 0$ second, than gas collapses



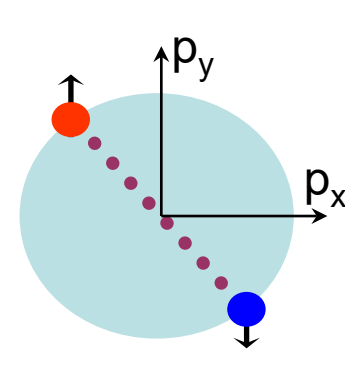
$$U_{\text{int}} = -\beta \,\varepsilon_F(n) \qquad \qquad \varepsilon_F(n) = \frac{\hbar^2}{2m} \left(6\pi^2 n\right)^{2/3}$$

Resonant s-wave interactions $(a \rightarrow \pm \infty)$

Is the mean field
$$U_{\rm int} = \frac{4\pi\,\hbar^2 a}{m} n$$
?

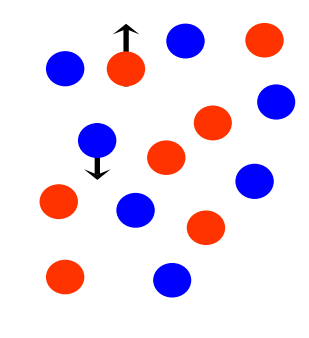
Energy balance at $a \to -\infty$: $\frac{\hbar^2}{2m} \left(6\pi^2 n\right)^{2/3} \left(+\frac{4\pi\,\hbar^2 a}{m}n\right)$ Collapse s-wave scattering amplitude: $f_{l=0} = -\frac{1}{ik+1/a}$

In a Fermi gas $k \neq 0$. $k \sim k_{\rm F}$. Therefore, at $a = \infty$, $f_{l=0} \approx -\frac{1}{ik_{\rm F}}$
 $U_{\rm int} = \frac{4\pi\,\hbar^2 a_{\rm eff}}{m} n$, where $a_{\rm eff} \sim -\frac{1}{k_{\rm F}}$
 $n \sim k_F^3$ $U_{\rm int} \sim -\frac{\hbar^2 k_F^2}{2m} = -\varepsilon_F(n) = -\frac{\hbar^2}{2m} \left(6\pi^2 n\right)^{2/3}$



Сверхтекучесть при $a = -\infty$?

$$p_{\mathbf{X}} \hat{H} = \sum_{p} \frac{p^2}{2m} \left(\hat{a}_{p\uparrow}^{+} \hat{a}_{p\uparrow} + \hat{a}_{p\downarrow}^{+} \hat{a}_{p\downarrow} \right) + V_2 \sum_{p',p,q} \hat{a}_{p\uparrow}^{+} \hat{a}_{-p+q\downarrow}^{+} \hat{a}_{p\downarrow}^{+} \hat{a}_{-p+q\uparrow}$$

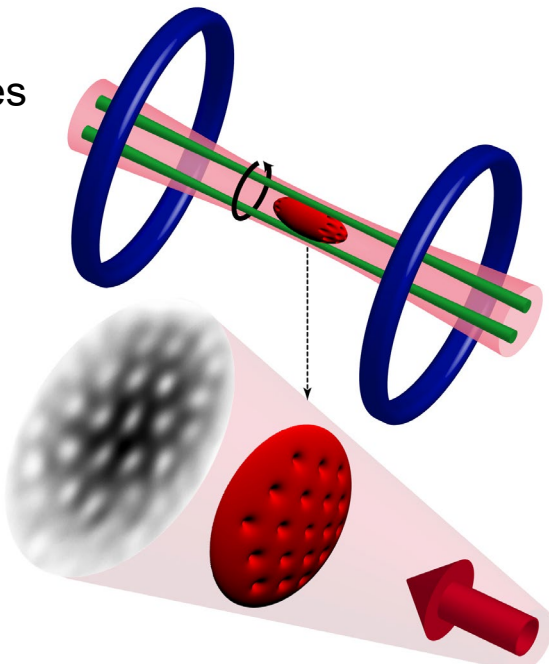


$$V_2 \approx \frac{4\pi\hbar^2 a}{m}$$

$$V_2 pprox rac{4\pi\hbar^2 a}{m}$$
 Сверхпроводник: $T_{
m crit} \sim \omega_{
m Debye} e^{-\pi/2\kappa_{
m F}|a|}$

Газ (Горьков, Мелик-Бархударов 1961) : $T_{
m crit} = 0.28 arepsilon_{
m F} e^{-\pi/2\kappa_{
m F}|a|}$



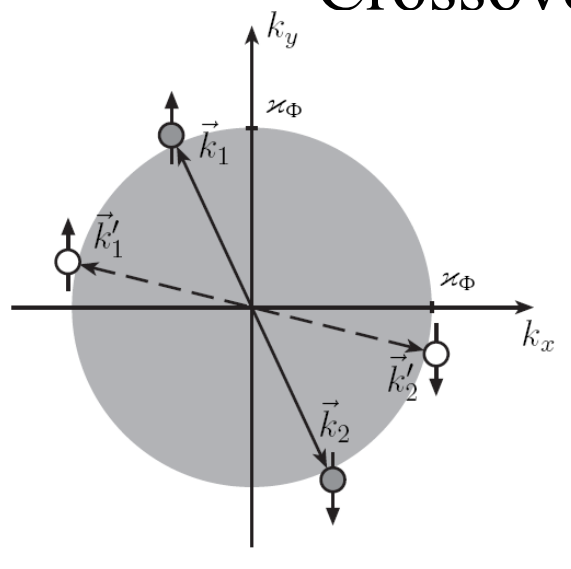


В газе атомов при $a = -\infty$:

 $T_c = 0.17 \, \varepsilon_F$ [Zwierlein и коллеги, 2011]

Highest critical temperature in cuprate superconductors: T_c =140 K = 0,01 ε_{F2} [Bozovic, 1991]

Crossover from a BCS superfluid to BEC



The Bogolubov theory of superconductivity, 1958



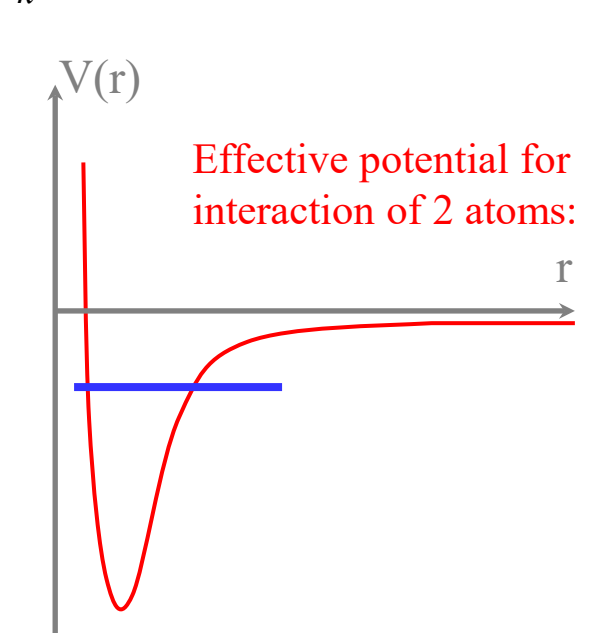
$$\hat{H} = \sum_{p} \frac{p^2}{2m} \left(\hat{a}_{p\uparrow}^{+} \hat{a}_{p\uparrow} + \hat{a}_{p\downarrow}^{+} \hat{a}_{p\downarrow} \right) + g \sum_{p',p} \hat{a}_{p'\uparrow}^{+} \hat{a}_{-p'\downarrow}^{+} \hat{a}_{p\downarrow}^{+} \hat{a}_{-p\uparrow}$$

Solution – direct product of Cooper pairs:

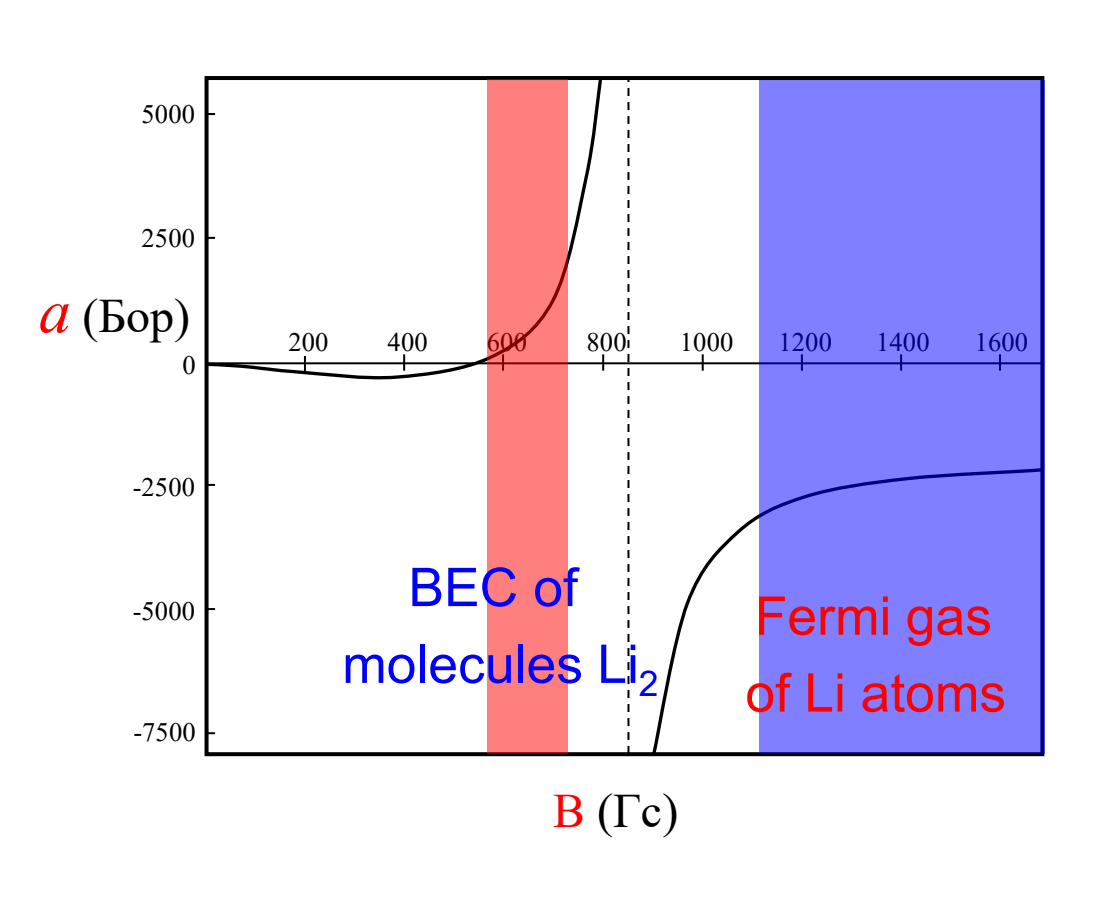
$$\prod_{\vec{k}} \left(u_{\vec{k}} + v_{\vec{k}} \hat{a}_{\vec{k}\uparrow}^{+} \hat{a}_{-\vec{k}\downarrow}^{+} \right) | \text{vacuum} \rangle$$

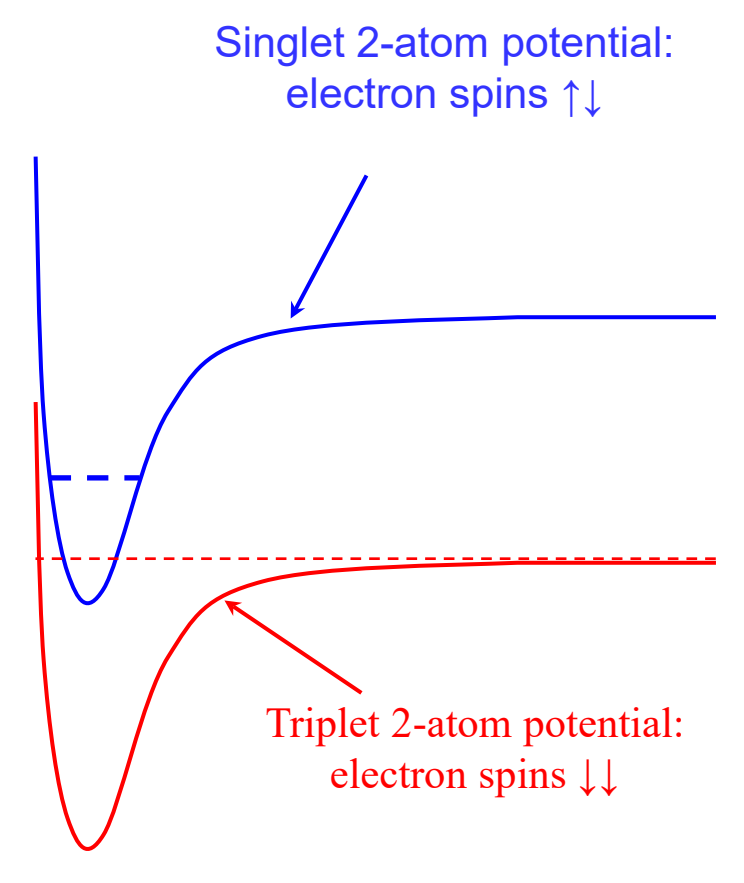
$$g \approx \frac{4\pi\hbar^2 a}{m}$$

a – s-wave scattering length

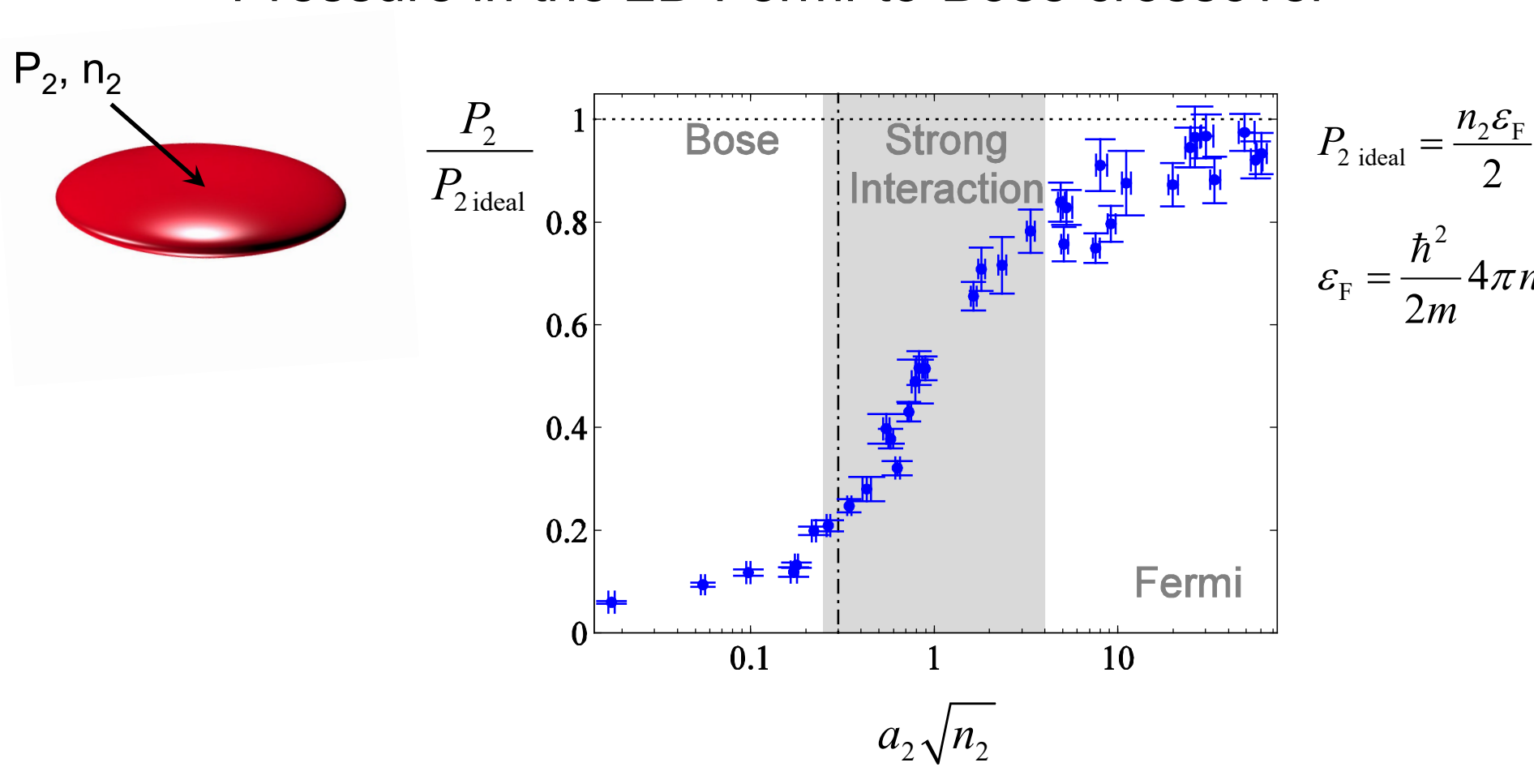


Crossover from a BCS superfluid to BEC



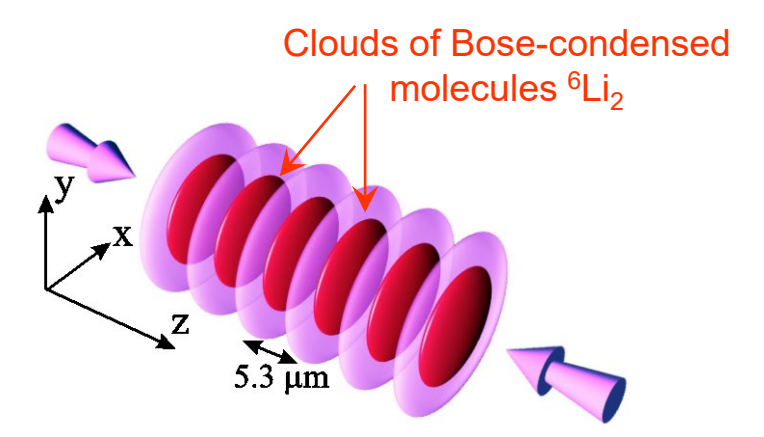


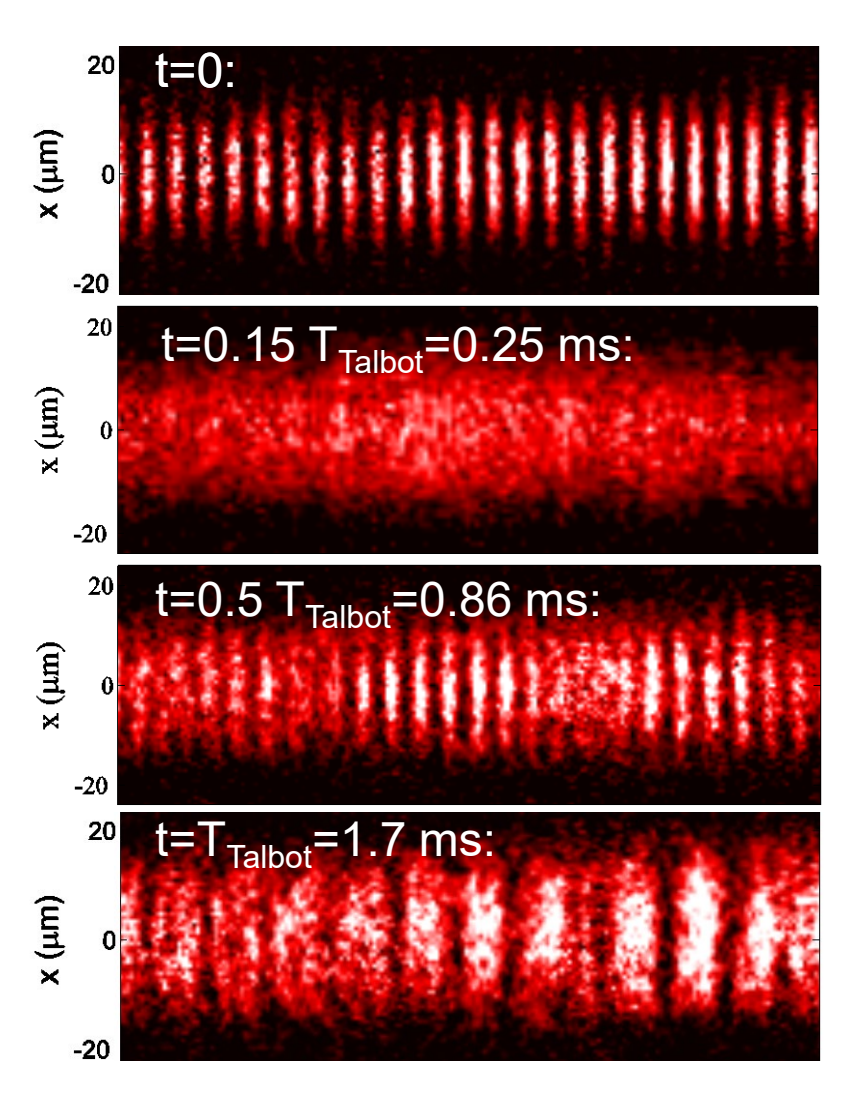
Pressure in the 2D Fermi-to-Bose crossover



 a_2 – 2D s-wave scattering length

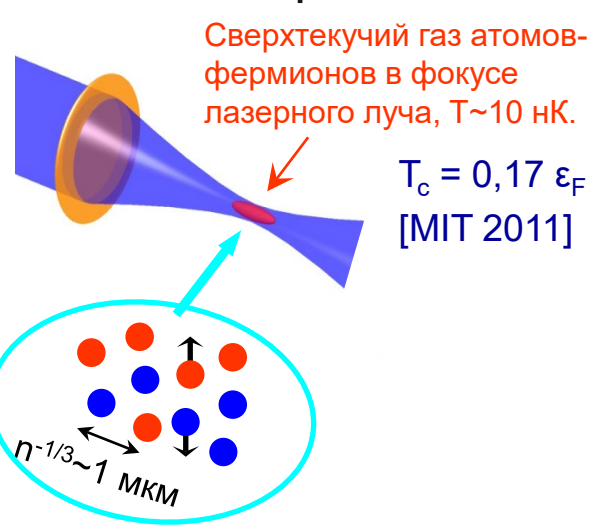
Proof of Bose condensation: Interference

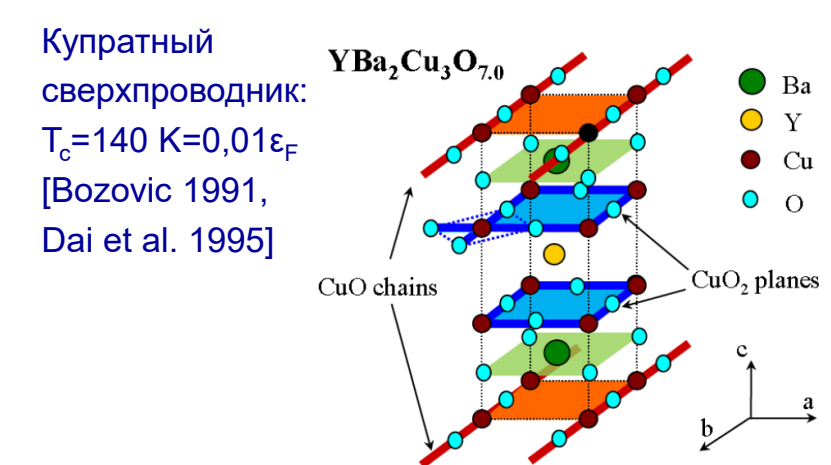




Взгляд в будущее

Микромеханизм комнатнотемпературной сверхпроводимости





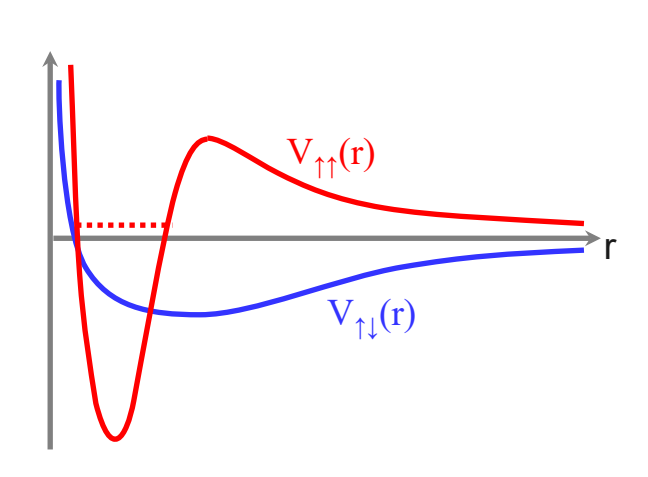
В приближении 2-частичных взаимодействий:

$$\hat{H} = \sum_{p} \frac{p^2}{2m} \left(\hat{a}_{p\uparrow}^+ \hat{a}_{p\uparrow} + \hat{a}_{p\downarrow}^+ \hat{a}_{p\downarrow} \right) + \frac{4\pi\hbar^2 a}{m} \sum_{p',p,q} \hat{a}_{p\uparrow}^+ \hat{a}_{-p+q\downarrow}^+ \hat{a}_{p\downarrow} \hat{a}_{-p'+q\uparrow} \qquad T_{\text{crit}} = 0.28 \varepsilon_{\text{F}} e^{-\frac{\pi}{2} \kappa_{\text{F}} |a|}$$

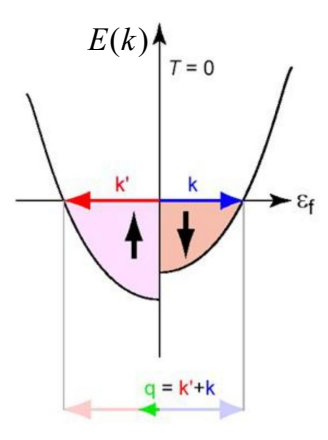
Сложность задачи: при $a = -\infty$ две ветви решения — стабильная и нестабильная (задача Бейкера-Берча)

Возможный микромеханизм сверхпроводимости при комнатной температуре:

потенциал электрон-электрон



Максимальное магнитное поле, допускающее сверхпроводимость?



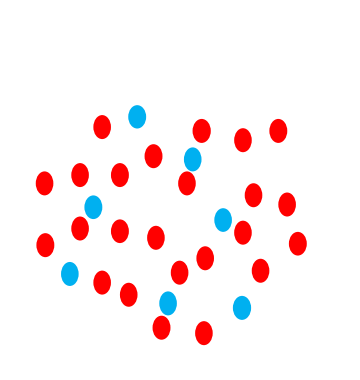
Предел Клогстона – разрушение сверхпроводимости по БКШ:

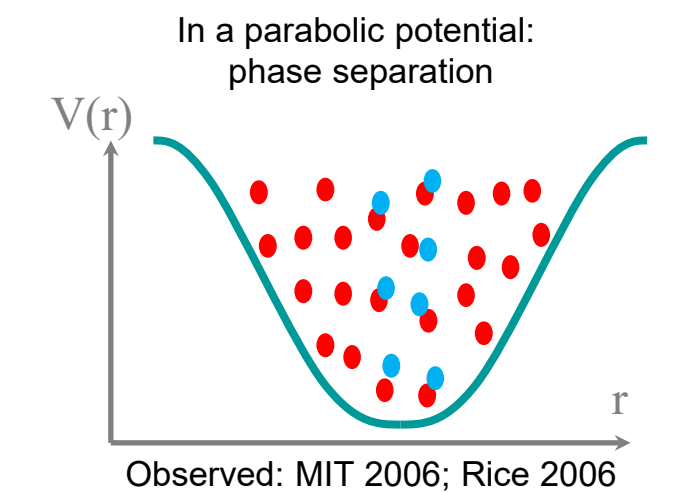
$$B_{\rm crit} = \frac{\Delta_{\rm gap}}{\mu_{\rm Bohr} \sqrt{2}}$$

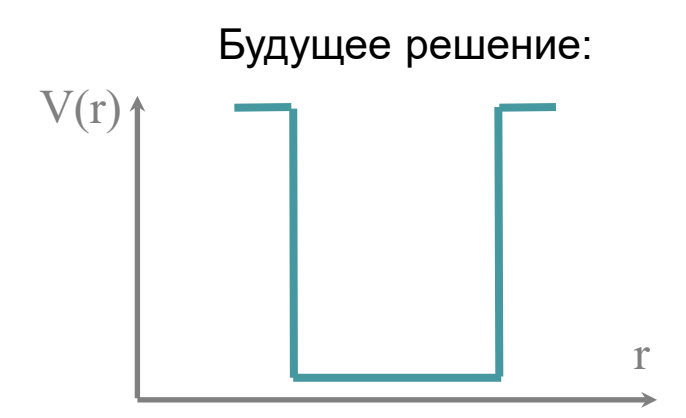


Попытки наблюдения фазы ФФЛО в 2-мерных органических сверхпроводниках: теплоёмкость [Lortz et al. 2007] анизотропия в рассеянии акустических волн [Imajo et al. 2022]

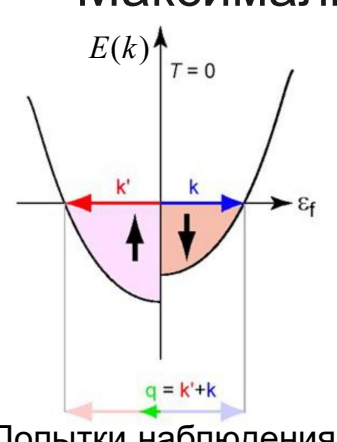
Спаривание по ФФЛО в газе атомов? Ранние попытки







Максимальное магнитное поле, допускающее сверхпроводимость?



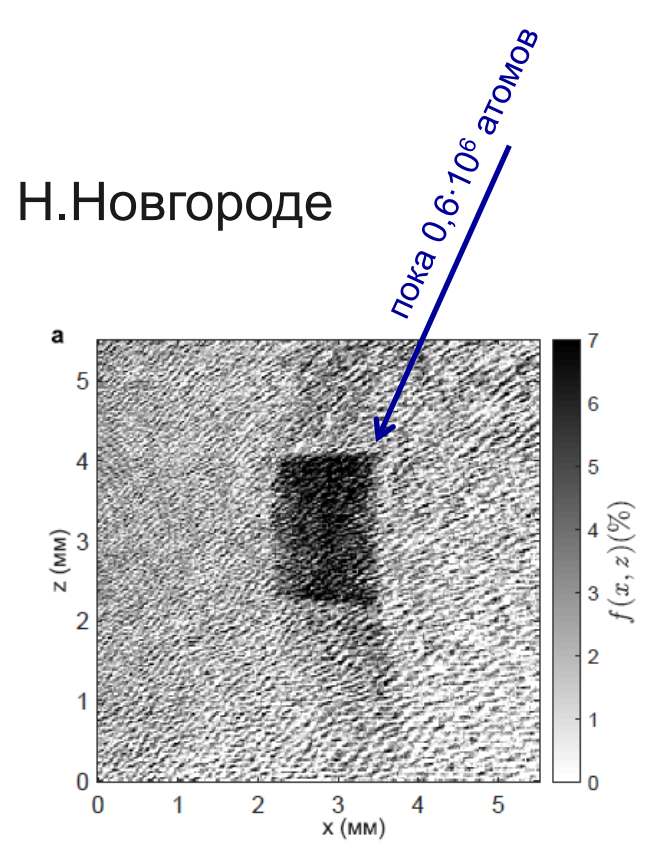
Предел Клогстона – разрушение сверхпроводимости по БКШ:

$$B_{\rm crit} = \frac{\Delta_{\rm gap}}{\mu_{\rm Bohr} \sqrt{2}}$$

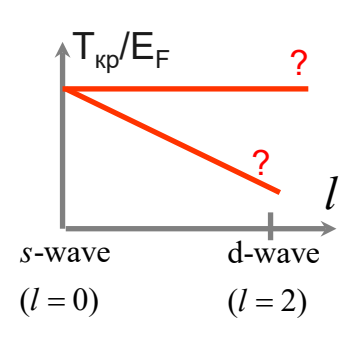
Спаривание по Фульде-Фереллу-Ларкину-Овчинникову?

Попытки наблюдения фазы ФФЛО в 2-мерных органических сверхпроводниках: теплоёмкость [Lortz et al. 2007] анизотропия в рассеянии акустических волн [Imajo et al. 2022]

На пути к спариванию по $\Phi\Phi \Pi O - B$ Н.Новгороде

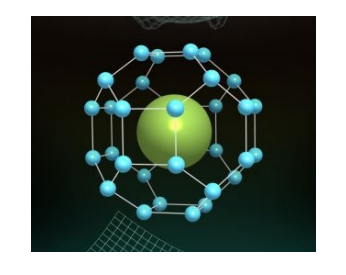


Максимум T_{crit}/E_F для различных парциальных волн?



s-спаривание: LaH₁₀ –
$$T_{crit}$$
 = 250 K (170 ГПа) = 3 10⁻³ E_F

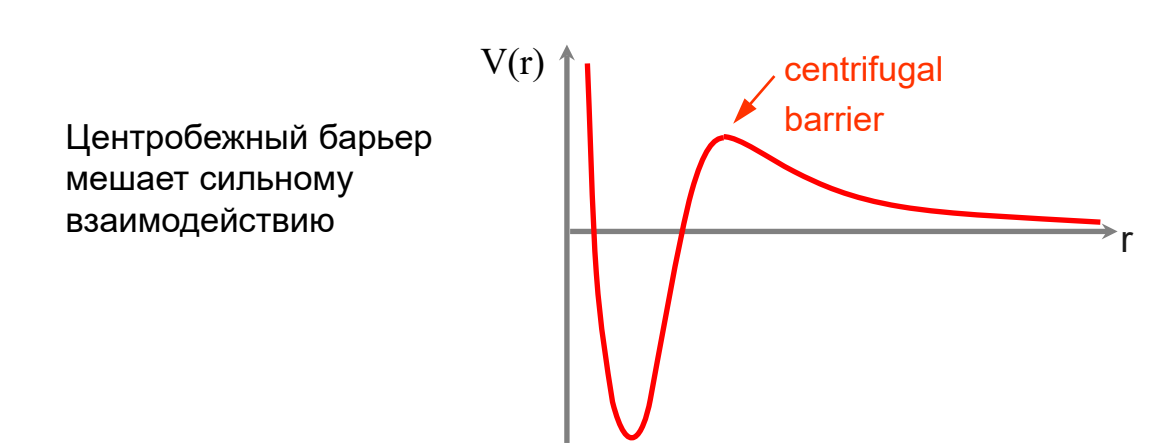
газ атомов [MIT 2012] —
$$max(T_{crit}/E_F)=0,17$$



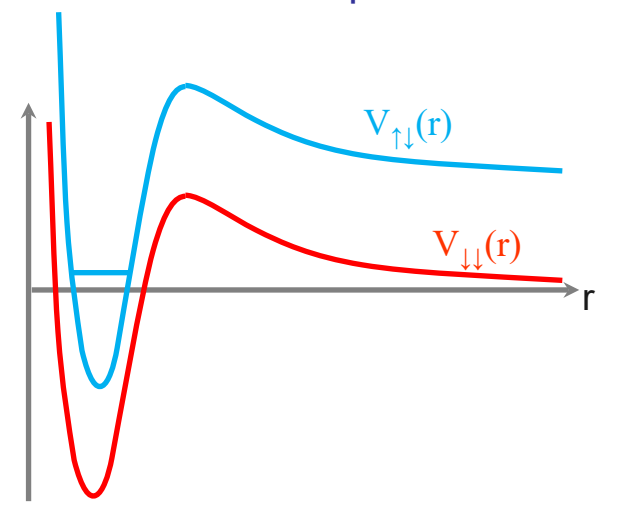
<u>р-спаривание</u>: сверхтекучесть 3 He - $T_{crit} \sim 10^{-3}$ E_F

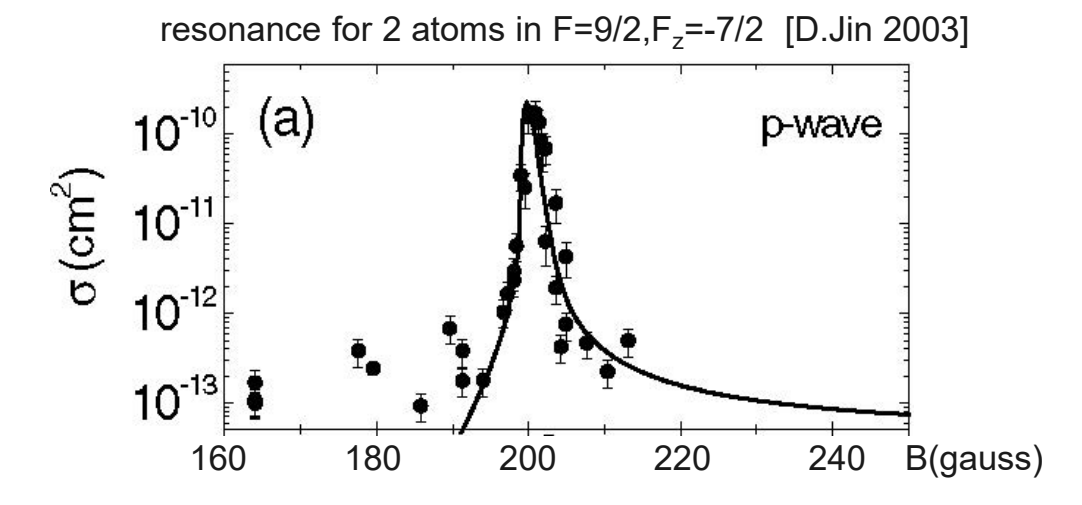
<u>d-спаривание</u>: купратные сверхпроводники – $T_{crit} = 0.01 E_F$ [Bozovic 1991]

Максимальное $T_{\rm kp}/E_{\rm F}$ для p-волнового спаривания в газе атомов 40К ?



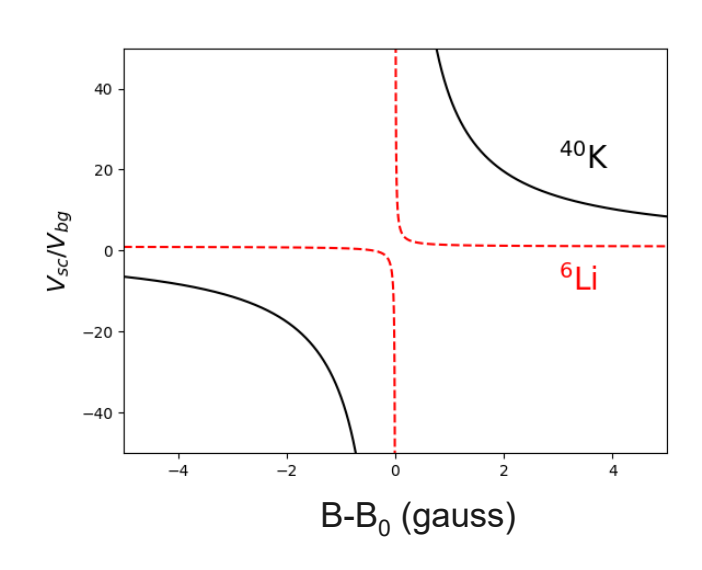
p-wave electric interactions: Fano-Feshbach resonance in ⁴⁰K



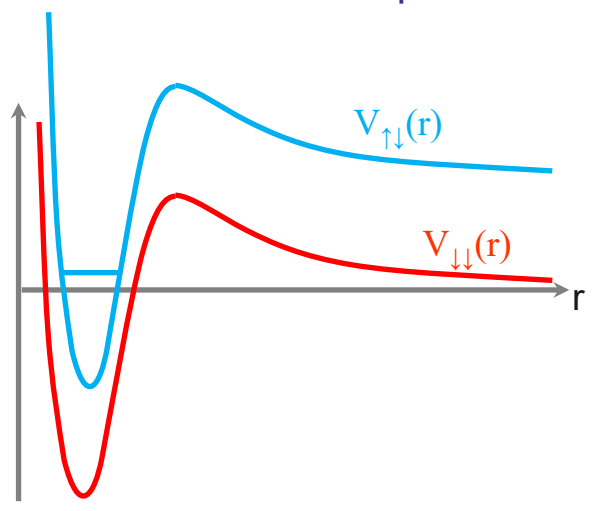


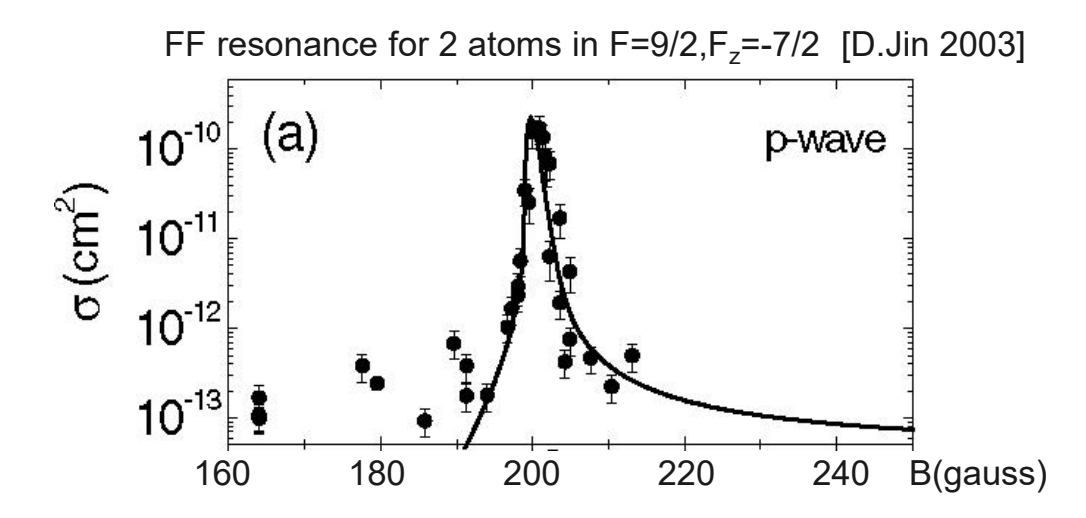
$$\sigma = \frac{4\pi}{k^2} 3\sin^2 \delta_1$$

$$tg \delta_1 = -k^3 V_{\text{scatt}}(B) = -k^3 V_{\text{bg}} \left[1 - \frac{\Delta}{B - B_0} \right]$$



p-wave electric interactions: Fano-Feshbach resonance

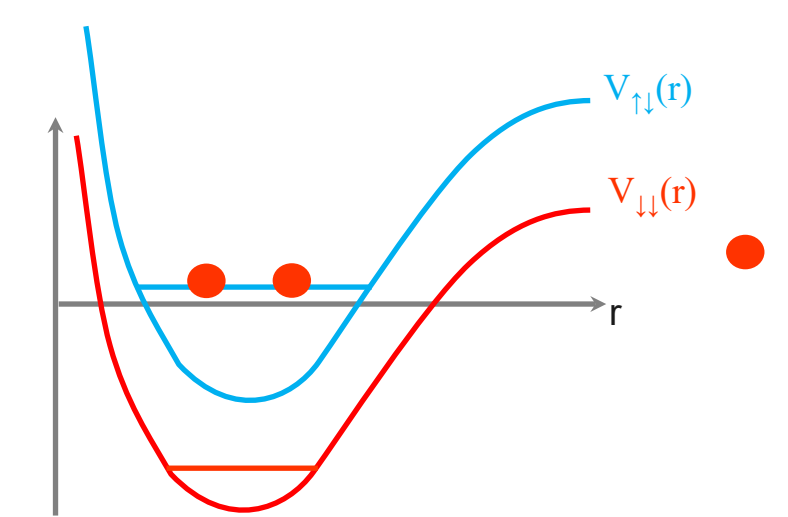




2- and 3-body collisional losses

2-body loss (rate ~ n):
$$\left| F = \frac{9}{2}, F_z = -\frac{7}{2} \right\rangle + \left| \frac{9}{2}, -\frac{7}{2} \right\rangle \longrightarrow \left| \frac{9}{2}, -\frac{7}{2} \right\rangle + \left| \frac{9}{2}, -\frac{9}{2} \right\rangle$$

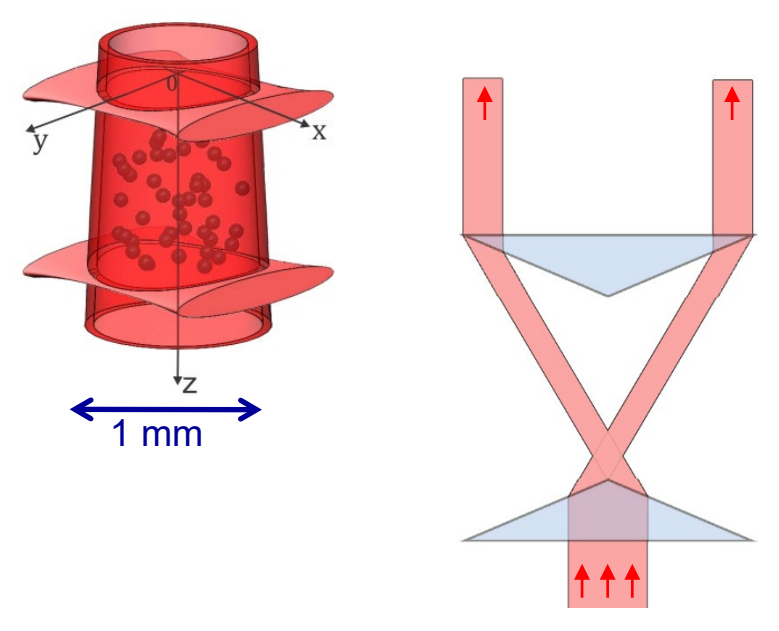
3-body loss (rate \sim n²):



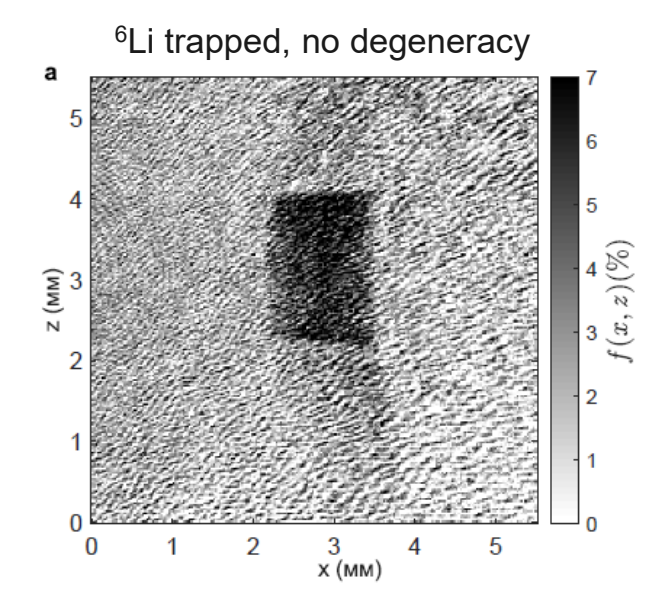
Inhibit losses: Make gas even more dilute

2-body loss rate ~ n; 3-body loss rate ~ n^2 Lifetime 10-100 s, $n^{-1/3}$ = 3-5 μ m

Shallow thin-wall dipole trap – other way to dilute gas – expands.



$$\frac{T_{\rm min}}{E_{\rm Fermi}} \sim \frac{2}{N^{1/3}}$$



Аналогичная большая полая ловушка для 40 K ?